



Министерство науки и высшего образования Российской Федерации
Федеральное государственное бюджетное образовательное учреждение
высшего образования
«Московский государственный технический университет
имени Н.Э. Баумана
(национальный исследовательский университет)»
(МГТУ им. Н.Э. Баумана)

ФАКУЛЬТЕТ Информатика и системы управления

КАФЕДРА Компьютерные системы и сети

НАПРАВЛЕНИЕ ПОДГОТОВКИ 09.03.03 Прикладная информатика

ОТЧЕТ
по лабораторной работе № 1
вариант № 3

Название Изучение принципов работы микро-
процессорного ядра RISC-V
Дисциплина Организация ЭВМ и систем

Студент гр. ИУ6-74Б

(Подпись, дата)

М.А. Гейне

(И.О.Фамилия)

Преподаватель

(Подпись, дата)

А.Ю. Попов

(И.О.Фамилия)

Москва, 2022

Содержание

Задание	3
1 Сборка и изучение программы	4
2 Изучение процессов выборки и диспетчеризации	6
3 Изучение процесса декодирования команды	7
4 Изучение процесса исполнения команды	8
5 Трассировка программы	9
Выводы	15

Цель работы: основной целью работы является ознакомление с принципами функционирования, построения и особенностями архитектуры суперскалярных конвейерных микропроцессоров. Дополнительной целью работы является знакомство с принципами проектирования и верификации сложных цифровых устройств с использованием языка описания аппаратуры SystemVerilog и ПЛИС.

Задание

В ходе выполнения лабораторной работы необходимо:

1. Провести сборку программы по индивидуальному варианту, изучить её исходный код;
2. Изучить процесс выборки и диспетчеризации команды;
3. Изучить процесс декодирования команды;
4. Изучить процесс выполнения команды;
5. Провести анализ выполнения программы по индивидуальному варианту. Провести трассировку программы. Выявить пути для оптимизации, оптимизировать и привести трассировку оптимизированной программы.

1 Сборка и изучение программы

В соответствии с индивидуальным вариантом была выбрана программа, исходный код которой приведён ниже.

```
.section .text
.globl _start;
len = 8 #Размер массива
enroll = 1 #Количество обрабатываемых элементов за одну
↳ итерацию
elem_sz = 4 #Размер одного элемента массива

_start:
    la x1, _x
    addi x20, x1, elem_sz*(len-1) #Адрес последнего элемента
lp:
    lw x2, 0(x1)
    add x31, x31, x2 #!
    addi x1, x1, elem_sz*enroll
    bne x1, x20, lp
    addi x31, x31, 1
lp2: j lp2

.section .data
_x:
    .4byte 0x1
    .4byte 0x2
    .4byte 0x3
    .4byte 0x4
    .4byte 0x5
    .4byte 0x6
    .4byte 0x7
    .4byte 0x8
```

По результатам сборки был получен следующий дизассемблерный листинг.

```
SYMBOL TABLE:
80000000 l      d  .text          00000000 .text
80000024 l      d  .data          00000000 .data
00000000 l      df *ABS*          00000000 task.o
00000008 l          *ABS*          00000000 len
00000001 l          *ABS*          00000000 enroll
00000004 l          *ABS*          00000000 elem_sz
80000024 l          .data          00000000 _x
8000000c l          .text          00000000 lp
80000020 l          .text          00000000 lp2
80000000 g          .text          00000000 _start
```

```
80000044 g      .data      00000000 _end
```

Disassembly of section .text:

```
80000000 <_start>:
80000000:      00000097      auipc      x1,0x0
80000004:      02408093      addi       x1,x1,36
↳ # 80000024 <_x>
80000008:      01c08a13      addi       x20,x1,28

8000000c <lp>:
8000000c:      0000a103      lw         x2,0(x1)
80000010:      002f8fb3      add        x31,x31,x2
80000014:      00408093      addi       x1,x1,4
80000018:      ff409ae3      bne        x1,x20,8000000c <lp>
↳
8000001c:      001f8f93      addi       x31,x31,1

80000020 <lp2>:
80000020:      0000006f      jal        x0,80000020 <lp2>
↳
```

Disassembly of section .data:

```
80000024 <_x>:
80000024:      0001      c.addi      x0,0
80000026:      0000      unimp
80000028:      0002      0x2
8000002a:      0000      unimp
8000002c:      00000003      lb         x0,0(x0) #
↳ 0 <enroll-0x1>
80000030:      0004      c.addi4spn  x9,x2,0
↳
80000032:      0000      unimp
80000034:      0005      c.addi      x0,1
80000036:      0000      unimp
80000038:      0006      0x6
8000003a:      0000      unimp
8000003c:      00000007      0x7
80000040:      0008      c.addi4spn  x10,x2,0
↳
```

Изучив исходный код программы был составлен псевдокод, приведённый ниже.

DATA:

_x := [1, 2, 3, 4, 5, 6, 7, 8]

```

begin
  x1 := указатель на _x[0]
  x20 := указатель на _x[7]

  do
    x2 := значение по x1
    x31 := x31 + x2
    x1++
  while (x1!=x20)

  x31++
end

```

Изучив алгоритм работы программы было установлено, что в конце её выполнения **$x31 = 29$** .

2 Изучение процессов выборки и диспетчеризации

В процессе выборки команды происходит выборка из памяти команд по адресу, который записан в РС. Выбранные данные помещаются на линию *fetch_instruction*. Выборка команды занимает один такт, однако может быть приостановлена, если далее по конвейеру данные некому обработать.

В рамках процесса диспетчеризации выбранные данные на предыдущем шаге помещаются в очередь команд, получая при этом $id < 8$. В случае, если очередь полностью заполнена, выдаётся сигнал, приостанавливающий выборку.

По индивидуальному варианту была сохранена временная диаграмма выборки и диспетчеризации команды с адресом **80000014, 1-я итерация**, приведённая на рисунке 1.

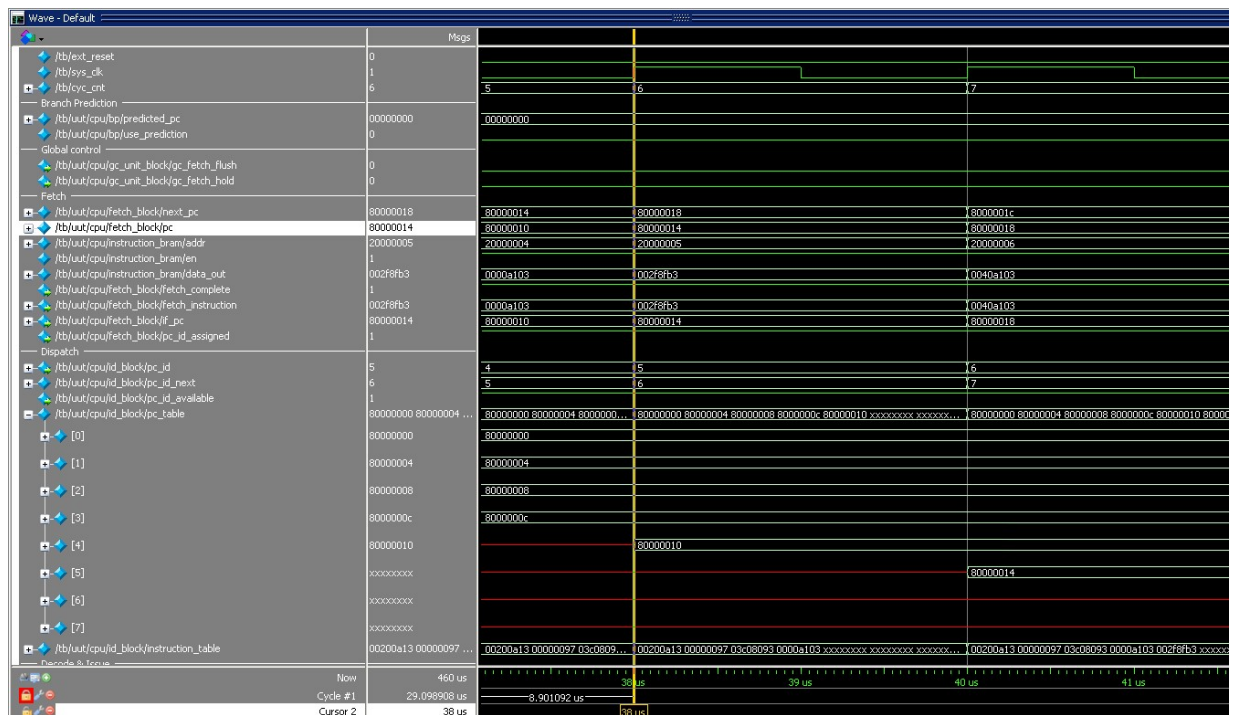


Рисунок 1 – Временная диаграмма выборки и диспетчеризации

3 Изучение процесса декодирования команды

Из очереди команд данные поступают на декодер, где происходит декодирование команды. В рамках этого процесса определяются код операции, исполнительный блок, исходные регистры и регистры назначения, специфические для команды характеристики. Декодирование производится комбинационно и занимает один такт. Следующим тактом производится планирование на выполнение. Однако в некоторых случаях можно наблюдать конфликты при выполнении операции, например при параллельной попытке доступа к одному регистру разных исполнительных блоков. В таком случае команда не выдаётся на исполнение, новая команда не выбирается из очереди.

По индивидуальному варианту была сохранена временная диаграмма декодирования команды с адресом **80000020**, 1-я ите-

рация, приведённая на рисунке 2.

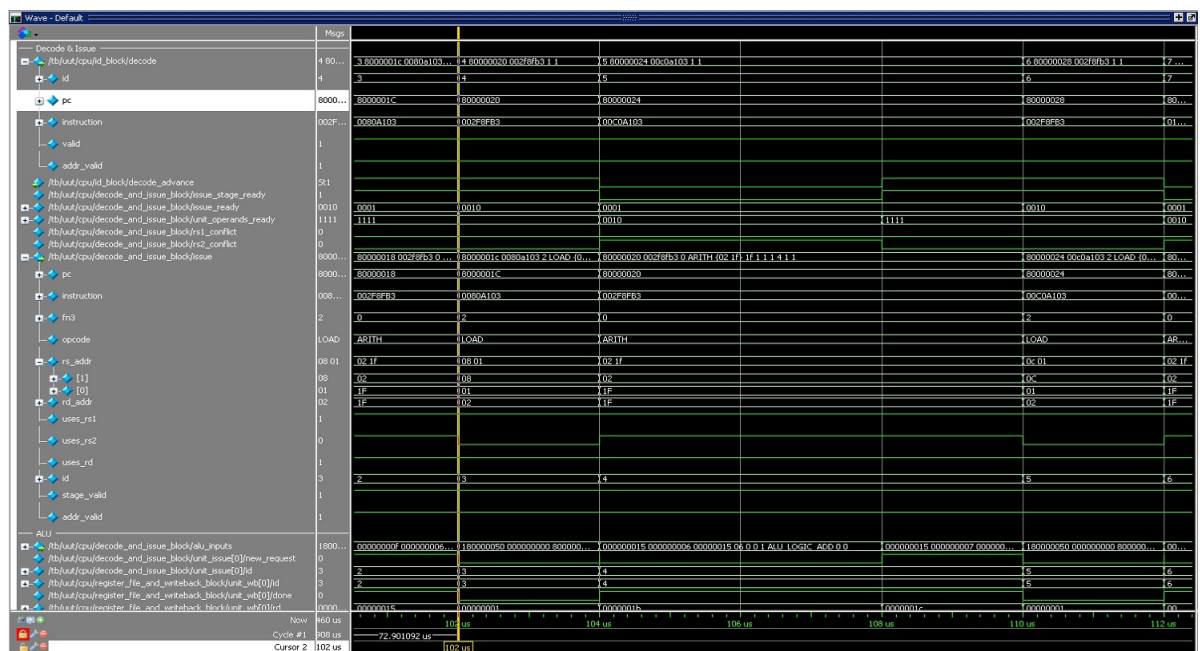


Рисунок 2 – Временная диаграмма декодирования

На диаграмме можно наблюдать, что после декодирования и выдачи на исполнение был обнаружен конфликт (выставлен сигнал *rs2_conflict*). По этой причине сигнал *decode_advance* снят, новая команда не выбирается из очереди, а уже поступившая на декодер - не подаётся на исполнение. После снятия сигнала о конфликте процесс возобновляется.

4 Изучение процесса исполнения команды

После декодирования команда отдаётся на исполнение. Исполнительный блок определяется сигналом *new_request[i]*, где $i=0,1,2$ - номер блока. Блоку АЛУ соответствует $i=0$, блоку обращения к памяти - $i=1$, блоку ветвления - $i=2$.

На АЛУ выполняются арифметические операции. Блок является комбинационным, результат предоставляет в течение 1 так-

та. Блок ветвления предоставляет результат за 1 такт. В случае ошибки предсказания адреса в следующем после поступления на исполнение такте будет выдан сигнал сброса, который приведёт к очистке уже выбранной очереди команд. Блок обращения к памяти выполняет запрос за 3 такта. Однако если бы было обращение к внешней памяти, то на его работу потребовалось бы значительно больше тактов.

По индивидуальному варианту была сохранена временная диаграмма выполнения команды с адресом **80000008**, приведённая на рисунке 3.

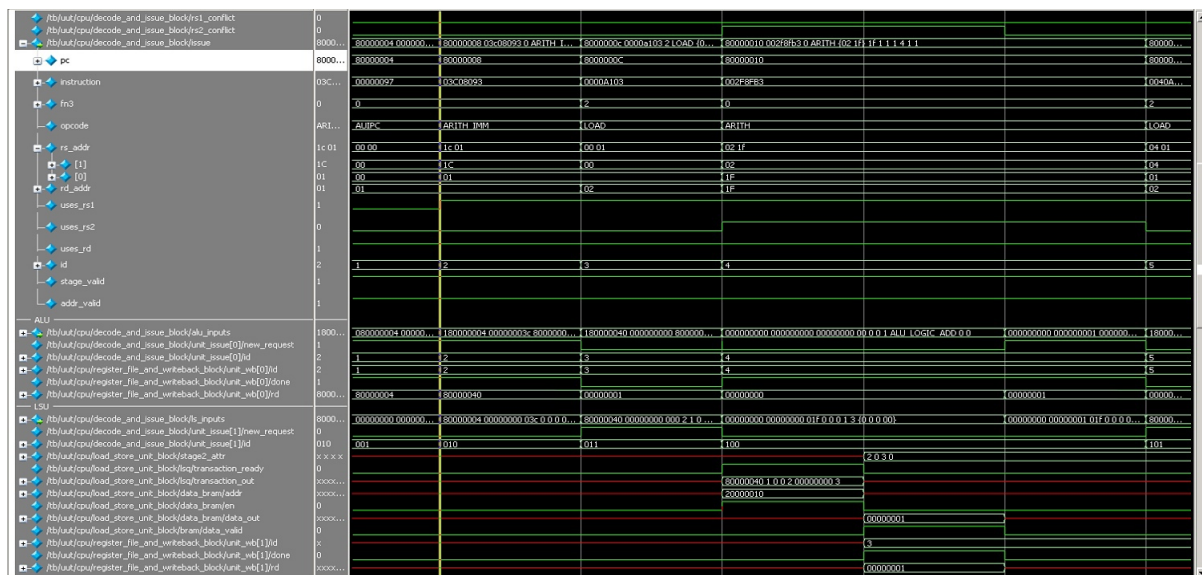


Рисунок 3 – Временная диаграмма выполнения

5 Трассировка программы

На основе полученных знаний была проведена трассировка индивидуальной программы. В ходе выполнения было подтверждено, что **x31 = 29**. Результат трассировки представлен на рисунке 4.

очередной итерации цикла и после обработки предыдущего аргумента. Таким образом, к моменту выполнения команды с конфликтом пройдет достаточное количество тактов для выполнения пересылки из памяти. Однако на первой итерации будет также наблюдаться конфликт.

В соответствии с приведёнными выше предложениями по оптимизации была составлена оптимизированная программа, текст которой приведён ниже.

```
.section .text
.globl _start;
len = 8 #Размер массива
enroll = 1 #Количество обрабатываемых элементов за одну
↪ итерацию
elem_sz = 4 #Размер одного элемента массива

_start:
    la x1, _x
    addi x20, x1, elem_sz*(len-1) #Адрес последнего элемента

    lw x2, 0(x1)
lp:
    addi x1, x1, elem_sz*enroll
    add x31, x31, x2 #!

    lw x2, 0(x1)
    bne x1, x20, lp
    addi x31, x31, 1
lp2: j lp2

_x:
    .section .data
    .4byte 0x1
    .4byte 0x2
    .4byte 0x3
    .4byte 0x4
    .4byte 0x5
    .4byte 0x6
    .4byte 0x7
    .4byte 0x8
```

По результатам сборки был получен следующий дизассемблерный листинг.

SYMBOL TABLE:

80000000	1	d	.text	00000000	.text
80000024	1	d	.data	00000000	.data
00000000	1	df	*ABS*	00000000	task.o
00000008	1		*ABS*	00000000	len
00000001	1		*ABS*	00000000	enroll
00000004	1		*ABS*	00000000	elem_sz
80000024	1		.data	00000000	_x
8000000c	1		.text	00000000	lp
80000020	1		.text	00000000	lp2
80000000	g		.text	00000000	_start
80000044	g		.data	00000000	_end

Disassembly of section .text:

80000000 <_start>:

80000000:	00000097	auipc	x1,0x0
80000004:	02408093	addi	x1,x1,36
↪	# 80000024 <_x>		
80000008:	01c08a13	addi	x20,x1,28

8000000c <lp>:

8000000c:	0000a103	lw	x2,0(x1)
80000010:	002f8fb3	add	x31,x31,x2
80000014:	00408093	addi	x1,x1,4
80000018:	ff409ae3		
↪	bne x1,x20,8000000c <lp>		
8000001c:	001f8f93	addi	x31,x31,1

80000020 <lp2>:

80000020:	0000006f		
↪	jal x0,80000020 <lp2>		

Disassembly of section .data:

80000024 <_x>:

80000024:	0001	c.addi	x0,0
80000026:	0000	unimp	
80000028:	0002	0x2	
8000002a:	0000	unimp	
8000002c:	00000003	lb	x0,0(x0) #
↪	0 <enroll-0x1>		
80000030:	0004		
↪	c.addi4spn x9,x2,0		
80000032:	0000	unimp	
80000034:	0005	c.addi	x0,1
80000036:	0000	unimp	
80000038:	0006	0x6	
8000003a:	0000	unimp	

→

```
c.addi4spn
```

 $x_{10}, x_2, 0$

которой отображен на рисунке 6

[illegible]

Рисунок 6 – Трассировка оптимизированной программы

x2 с адресом **80000014**, приведённая на рисунке 7.

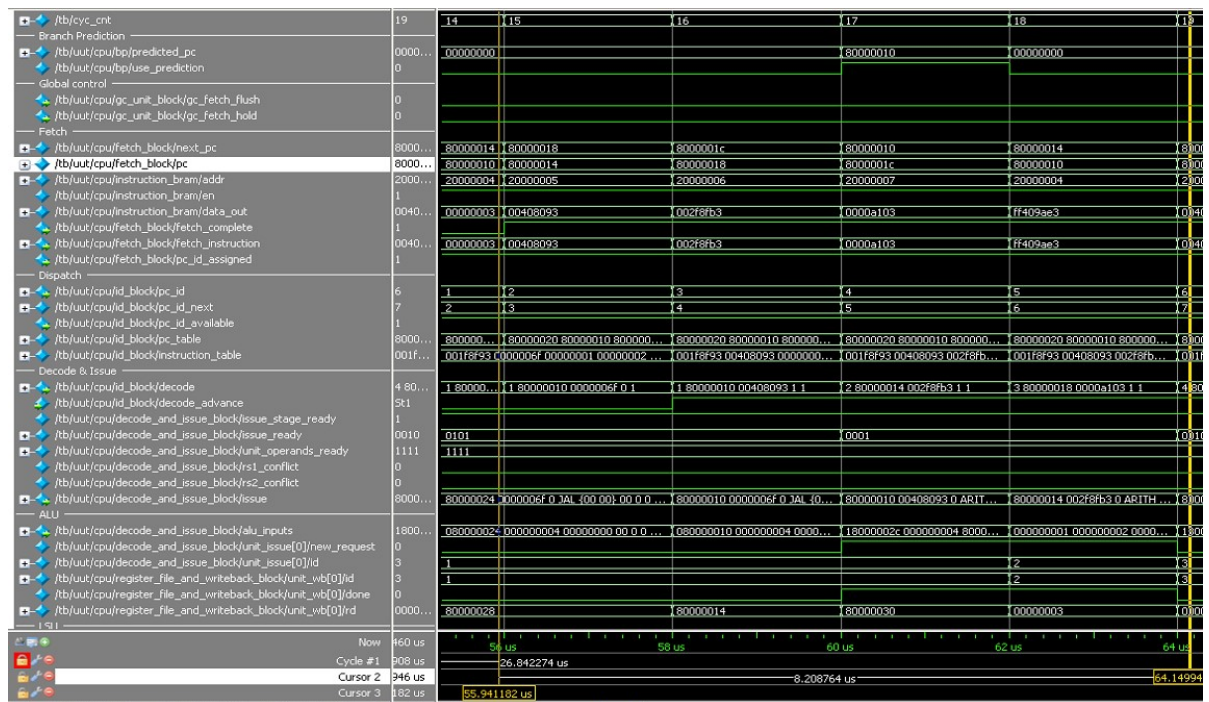


Рисунок 7 – Временная диаграмма обработки команды

Из таблицы видно, что конфликты больше не возникают и команды не находятся в ожидании лишние такты. В результате оптимизации удалось сократить время выполнения основной части программы с 60 тактов до 48, т.е. на 12 тактов.

Выводы

В ходе выполнения лабораторной работы были изучены принципы работы микропроцессорного ядра RISC-V.

Изучены процессы выборки, диспетчеризации, декодирования и выполнения команд.

Проведена трассировка программы, предоставленной по индивидуальному заданию. В ходе трассировки выявлены конфликты в выполнении команд.

Предложены варианты оптимизации программы. В соответствии с ними программа была изменена.

Проведена трассировка оптимизированной программы. Оптимизация позволила избежать конфликтов и увеличить скорость исполнения программы на 12 тактов.